



**UNIVERSITAT POLITÈCNICA DE CATALUNYA
BARCELONATECH**

**Escola Superior d'Enginyeries Industrial,
Aeroespacial i Audiovisual de Terrassa**

AEROSPACE STRUCTURES

Beam structure: Wingbox

Sergi Marsol

Nicolás Cortines

GRETA- GROUP 11

PROFESSOR

Juan Carlos Cante

Tuesday 23rd April, 2024

Contents

1	Condiciones iniciales de análisis	2
2	Cross-section analysis	3
2.1	Centroid, bending inertia and normal stress distribution	3
2.2	Shear center, torsional inertia and tangential stress distribution assuming open section . .	5
2.3	Torsional inertia and tangential stress distribution assuming closed section	7
3	Beam analysis for both closed and open section	11
3.1	Wingbox magnitudes analysis	11
3.1.1	Algorithm	11
3.2	Convergence of the numerical solution	12
3.3	Wingbox magnitudes analysis, reference case ($h_{el} = \frac{b}{512}$)	13
4	Von Mises criterion	16
5	Conclusiones	18
A	Código empleado	19
A.1	Sección A	19
A.2	Sección B	20
A.2.1	Caso abierto	20
A.2.2	Caso cerrado	22

1 Condiciones iniciales de análisis

La geometría en cuestión presentada en la práctica es:

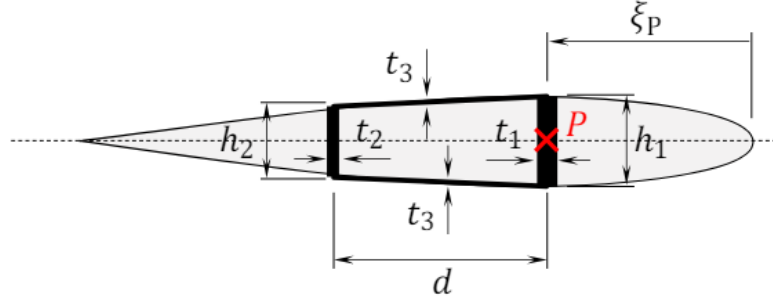


Figure 1: Wing Cross-section

Donde el módulo de elasticidad del material es $E = 210$ GPa y el módulo de cizalladura es $G = 80$ GPa. Los parámetros geométricos en la Figura 1 son: $\xi_P = 0.3c$, $d = 0.3c$, $h_1 = 0.25c$, $h_2 = 0.15c$, $t_1 = 22$ mm, $t_2 = 15$ mm y $t_3 = 3.5$ mm.

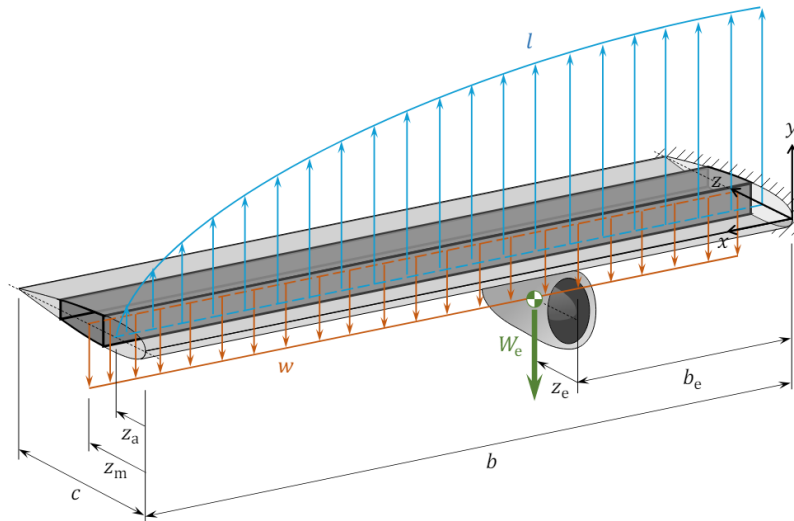


Figure 2: Wing loads distribution

El ala está sometida a una carga distribuida l que actúa en la cuerda aerodinámica, situada a una distancia $z_a = 0.25c$ desde el borde de ataque. También soporta su propio peso, w , con una masa uniformemente distribuida $\lambda = 140$ kg/m a lo largo de la línea de centro de masa, situada a una distancia $z_m = 0.48c$. Además, en el punto representado en la Figura 2, con $b_e = 0.25b$ y $z_e = 0.3c$, el ala soporta el peso del motor de masa $M_e = 2100$ kg. Para la carga aerodinámica, se asume la siguiente distribución:

$$l(x) = \frac{1}{2} \rho_{\infty} V_{\infty}^2 \frac{c_l}{c} \left(1 - \left(\frac{x}{b} \right)^2 \right)$$

donde $\rho_{\infty} = 1.225$ kg/m³, $V_{\infty} = 750$ km/h, $c_l = 0.1$, $c = 2$ m, $b = 16$ m.

2 Cross-section analysis

2.1 Centroid, bending inertia and normal stress distribution

En esta primera sección, se ha calculado el centroide de la pieza, su inercia y la distribución de tensiones normales σ , como resultado de un momento unitario en la dirección del eje z . La geometría en cuestión presentada es:

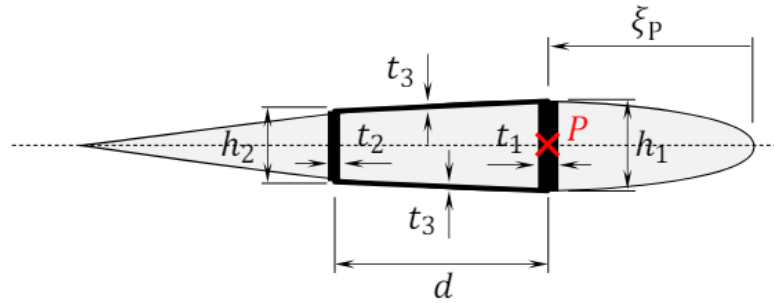


Figure 3: Wing Cross-section

Sin embargo, cabe mencionar que, en primer lugar, se ha debido de discretizar la geometría usando un número adecuado de nodos. Como consecuencia, se ha escogido implementar 50 nodos a la *cross-section*. Este número de nodos proporcionará la precisión necesaria para llevar a cabo las cuestiones planteadas.

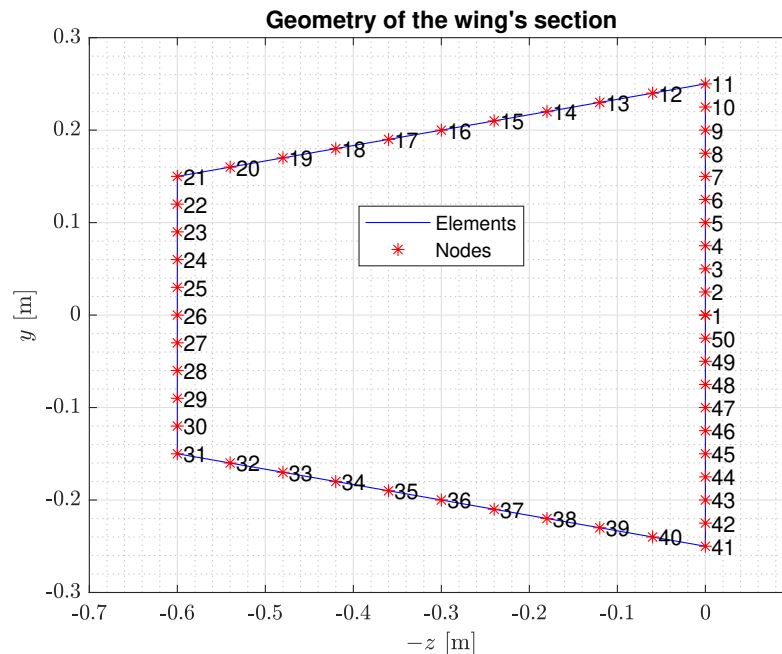


Figure 4: Wing Cross-section

Una vez establecida la geometría del problema, se han procedido a los consiguientes cálculos. En primer lugar, la posición del **centroide** de la sección (x_0, y_0) con respecto al punto 'P' es:

Position (m)	x'_0	y'_0
Value (m)	-0.2013	0

Asimismo, a continuación se presenta el valor de las **inercias** calculadas. Como consecuencia de la simetría de la pieza, debe de verificarse que $I_{xy} = 0$. Los resultados de los pertinentes cálculos se detallan a continuación:

	Inertia Value (m^4)
I_{xx}	$4.3678 \cdot 10^{-4}$
I_{yy}	0.0013
I_{xy}	0

De forma matricial resulta:

$$\mathbf{I} = \begin{pmatrix} I_{xx} & I_{xy} & I_{xz} \\ I_{yx} & I_{yy} & I_{yz} \\ I_{zx} & I_{zy} & I_{zz} \end{pmatrix} = \begin{pmatrix} 4,3678 \cdot 10^{-4} & 0 & 0 \\ 0 & 0,0013 & 0 \\ 0 & 0 & 0 \end{pmatrix};$$

Por último, se ha aplicado un momento flector unitario alrededor del eje z de la estructura ($Mx = -1$ y $My = 0$ en el caso del eje de la sección) y se ha obtenido la **distribución de tensiones normales**, **Normal stress** σ . Para ello, se ha ejecutado la función *getNormalStress* codificada en *Matlab*. La distribución resultante se observa a continuación.

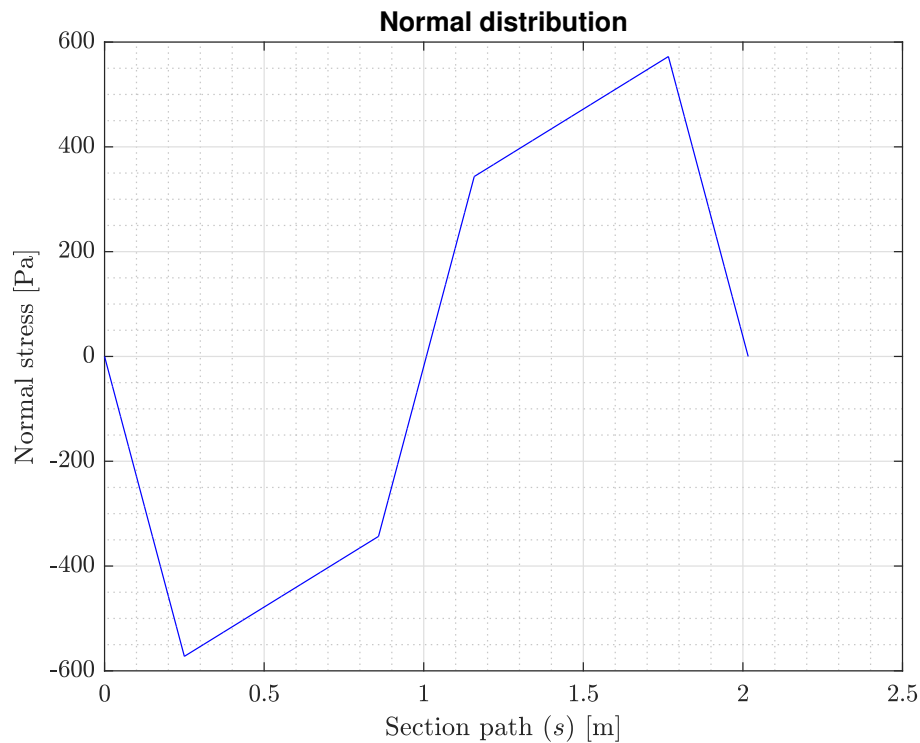


Figure 5: Normal stress distribution

De forma esperada, se puede observar como la tensión normal tanto al inicio como al final de la sección es similar, ya que dicha distribución debe de ser continua a lo largo del dominio. Por otro lado, el punto

de máxima tensión normal se encuentra en $s = 1.75$ m, donde dicho valor del *normal stress* alcanza el $\sigma = 572.4$ Pa.

2.2 Shear center, torsional inertia and tangential stress distribution assuming open section

A continuación, se ha calculado la inercia a torsión, centro de cortante y distribución de esfuerzos tangenciales a lo largo de la sección, asumiendo que la pieza se encuentra abierta. Dicha distribución de esfuerzos tangenciales (τ_o^s y τ_o^t) son causados por un cortante y momento torsor unitarios, aplicados en el centro de cortante.

En primer lugar, el valor de la inercia de torsión, *torsional inertia for open section*, es $J_{open} = 2.08562 \cdot 10^{-6} \text{ m}^4$.

$$J_{open} = 2.08562 \cdot 10^{-6} \text{ m}^4$$

Una vez se ha obtenido la inercia necesaria, es posible calcular la posición del **centro de cortante** (x_s , y_s), *shear center*. Para ello, primero se debe determinar la distribución de esfuerzos cortantes para luego aplicar el equilibrio de momentos en cualquier punto de la sección y así calcular las coordenadas del centro de cortante.

Position (m)	x_s	y_s
Value (m)	-1.1358	0

Una vez más, se verifica que, de forma esperada, el centro de cortante se sitúa sobre el eje de simetría.

Después de realizar los siguientes cálculos, se ha computado la distribución de esfuerzos tangenciales, *tangential stress distribution* causados por un momento torsor en dirección z ($M_z = 1$) y un cortante en dirección y ($S_y = 1$), cuyo punto de aplicación se encuentra en el centro de cortante.

En primer lugar, para obtener la distribución de esfuerzos tangenciales como resultado de un cortante unitario, es decir, *tangential stress distribution due to shear* se ha empleado la función *getTangentialStressDistribution*.

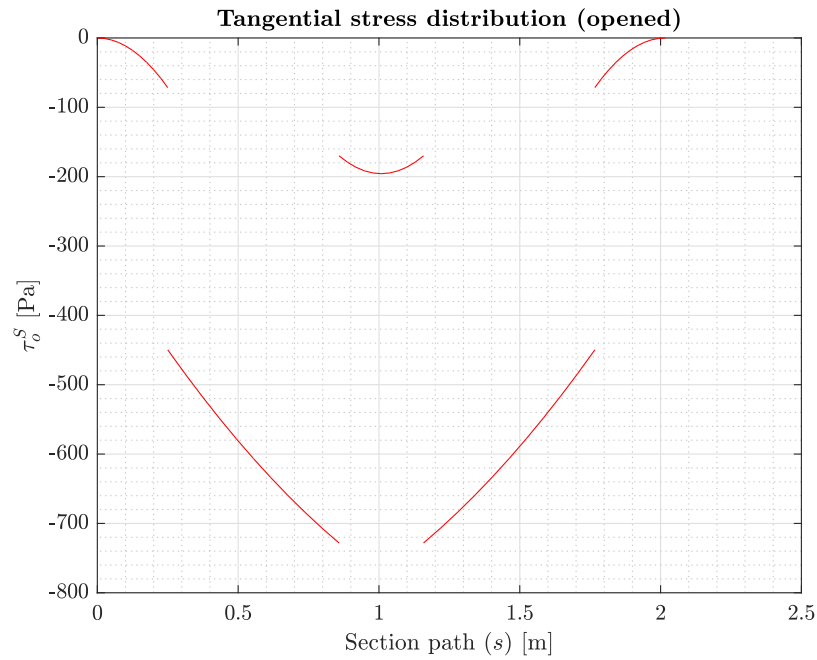


Figure 6: Tangential stress distribution, opened

Por otro lado, para el caso de esfuerzo tangencial como resultado de un momento torsor unitario, es decir, ***tangential stress distribution due to torsion*** se ha empleado la función `getTangentialStressDistributionTorsion`.

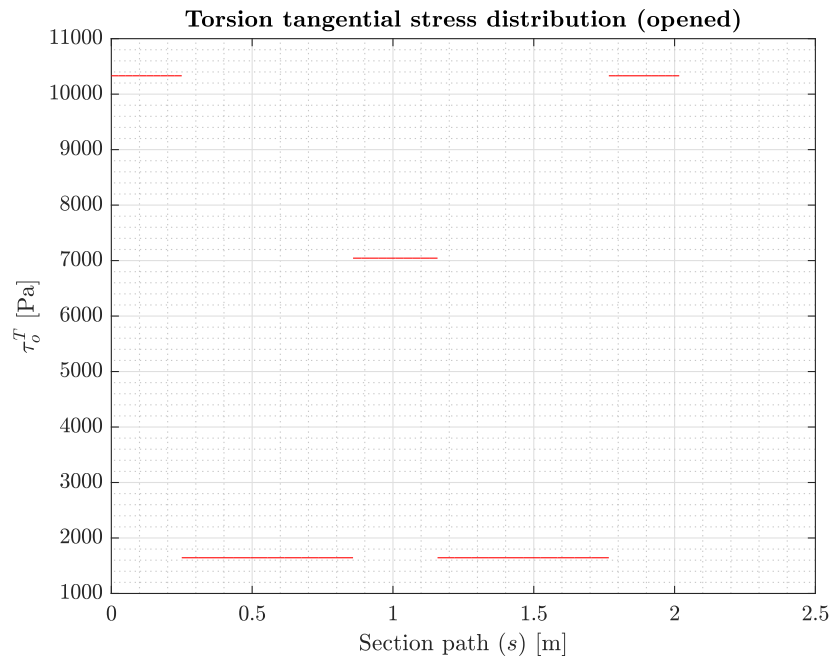


Figure 7: Tangential stress distribution torsion, opened

Se puede observar, que ambas distribuciones no son continuas en cada vórtice de cada sección. Esta

discontinuidad es resultado de las variaciones de grosor de la sección. Asimismo, es interesante visualizar que aunque la distribución de tensiones tangenciales es discontinua, el flujo de cortadura es una función continua a lo largo de la *cross-section* ($q = \tau \cdot t$).

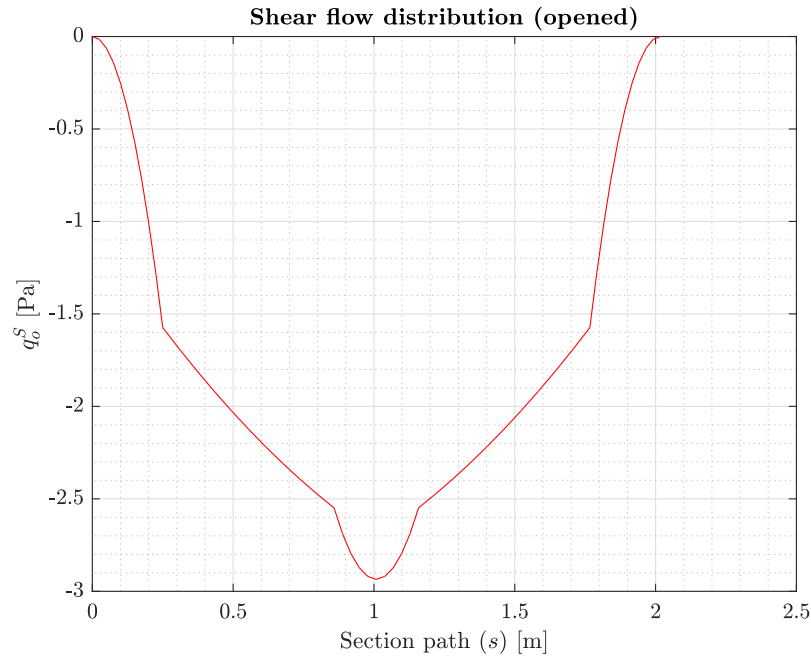


Figure 8: Shear flow opened

2.3 Torsional inertia and tangential stress distribution assuming closed section

En este último apartado se ha calculado la inercia polar y la distribución de esfuerzos tangenciales a lo largo de la sección, asumiendo que la pieza se encuentra cerrada. Dicha distribución de esfuerzos tangenciales (τ_c^s y τ_c^t) son causadas por un cortante y momento torsor unitarios aplicados en el centro de cortante de la pieza. Para este caso, se asumirá que el centro de torsión de la sección coincide con el centroide; por lo que, $X_s = X_0$.

En el siguiente gráfico se puede observar la posición del centroide, centro de cortante y la geometría discretizada.

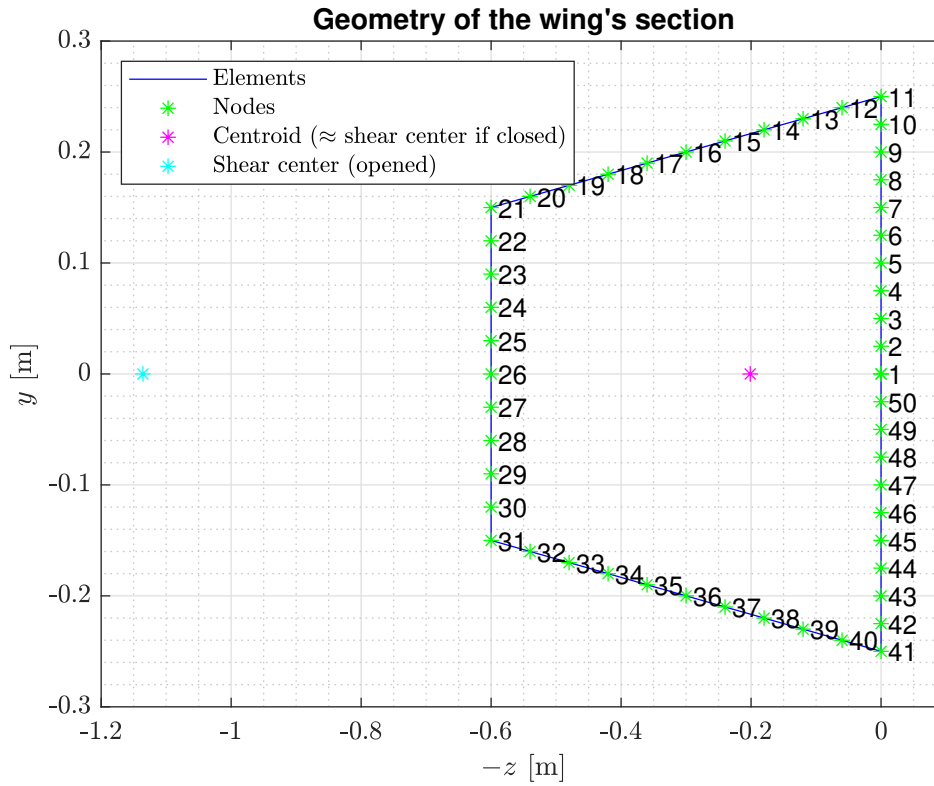


Figure 9: Cross-Section mesh

En primer lugar, el valor del módulo de torsión, **torsional inertia for closed section**, es $J_{closed} = 5.9029 \cdot 10^{-5} m^4$. Dicho valor se ha obtenido a partir de la función `getSectionPropertiesClosed` de *Matlab*.

$$J_{closed} = 5.9029 \cdot 10^{-5} m^4$$

Por ende, la distribución de esfuerzos tangenciales a lo largo de la sección como consecuencia del cortante unitario, **tangential stress distribution due to shear (closed)** se detalla en la siguiente figura. Dicha distribución se ha obtenido de forma similar al caso de sección abierta, pero sumándole el flujo de cortadura en la sección inicial q_{so} .

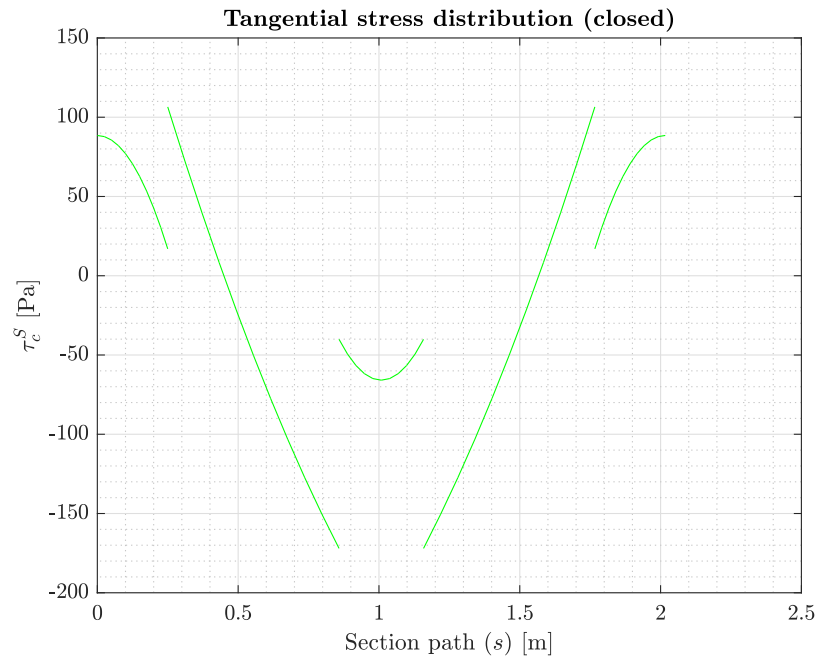


Figure 10: Tangential stress distribution closed

Finalmente, para el esfuerzo tangencial como resultado de un momento torsor unitario, es decir, *tangential stress distribution due to torsion*:

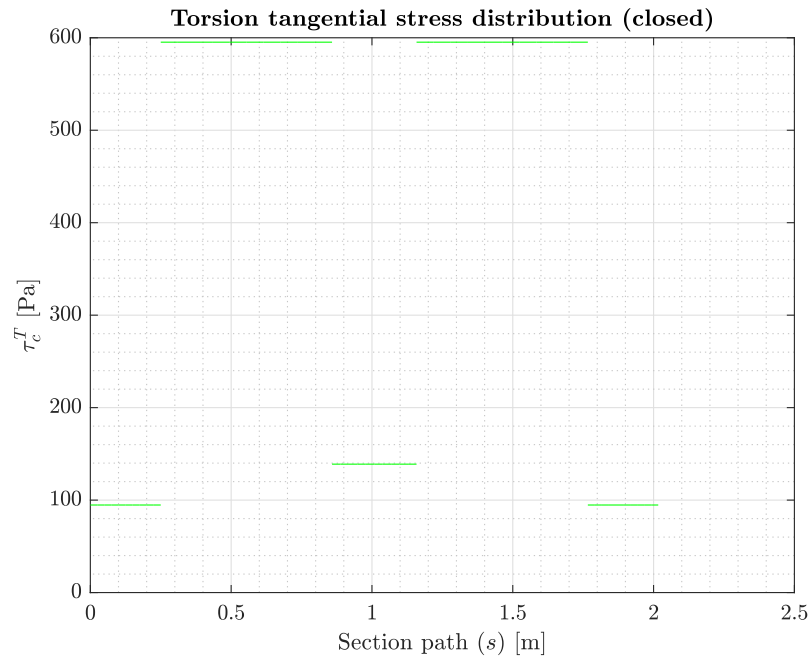


Figure 11: Tangential stress distribution torsion, closed

De forma similar al apartado anterior, el flujo de cortadura resultante es:

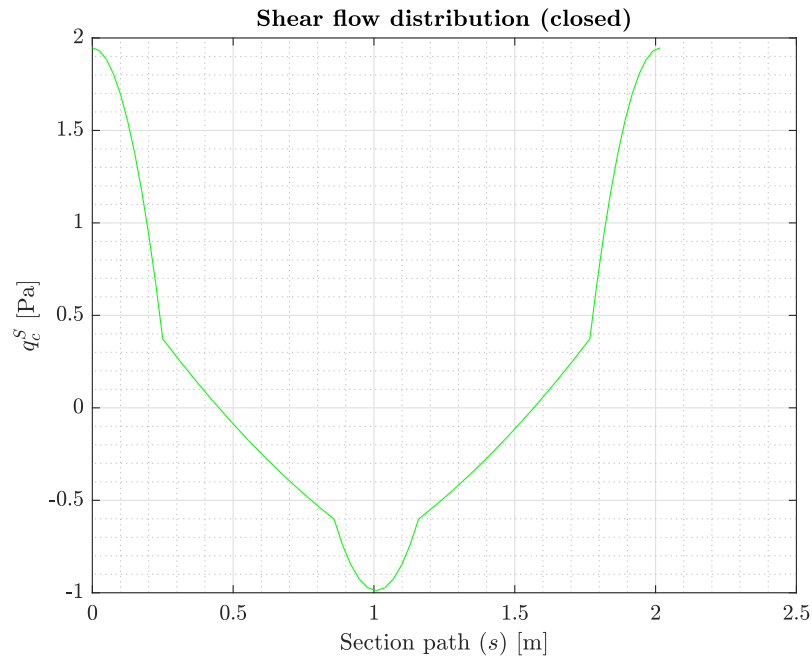


Figure 12: Shear flow closed

La tendencia seguida por el flujo de cortante es idéntica a la mostrada en el caso abierto, con la única diferencia de q_{so} . Anteriormente, se observaba que en el punto 'P' el flujo de cortante era nulo, mientras que ahora es distinto de dicho valor, consecuencia de que, para pasar del caso abierto al caso cerrado, es necesario agregar el término q_{so} , que corresponde a:

$$q_s^{closed} = q_s^{open} + q_{so}$$

3 Beam analysis for both closed and open section

En esta sección, se ampliará el análisis realizado para los casos de sección cerrada y abierta al conjunto del ala modelada por una viga expuesta a las cargas ya presentadas.

3.1 Wingbox magnitudes analysis

En primer lugar, se ha implementado un código con el objetivo de calcular numéricamente ciertas magnitudes de la estructura alar, tanto para el caso cerrado como abierto. Asimismo, se han computado las distribuciones de las siguientes magnitudes.

- Vertical deflection
- Section bending rotation
- Section torsion rotation
- Shear force
- Bending moment
- Torsion moment

3.1.1 Algorithm

A continuación, se presentan las funciones y ciertas líneas de código con el objetivo de completar la discretización de toda la sección alar, al mismo tiempo que los parámetros anteriormente mencionados. Cabe mencionar que la distinción entre el caso abierto y cerrado radica en la inercia polar y posición del centro de cortante.

En primer lugar, se han computado las fuerzas y momentos repartidos que actúan sobre cada elemento. Las fuerzas puntuales, como ahora el peso del motor, y los momentos puntuales, también debido al peso del motor, no se han considerado en este caso, puesto que se han contemplado como input de fuerzas y momentos puntuales a la hora de resolver la estructura, como se verá posteriormente.

```

1 %%
2 % Fuerza distribuida equivalente resultante en cada ELEMENTO
3 distributed_lift_nodes = arrayfun(lift_func,x);
4 distributed_lift_elements = (distributed_lift_nodes(1:end-1) + distributed_lift_nodes(2:end))/2;
5 distributed_load = distributed_lift_elements - weight_distribution;
6
7 % Momento torsor distribuido equivalente resultante en cada ELEMENTO
8 distributed_torsion_lift = (chi_s+chi_p-za)*distributed_lift_elements;
9 distributed_torsion = distributed_torsion_lift - (chi_s+chi_p-zm)*weight_distribution;
10
11 % Fuerzas puntuales y momentos/torsores en cada NODO
12 motor_node_position = find(x==be);
13 F = [motor_node_position 1 -Me*g
14      motor_node_position 3 -Me*g*(chi_s+chi_p-ze)]; % Point loads (only the engine)

```

Por consiguiente, a partir de las funciones presentadas en el *Appendix D. Beam problems*, en concreto, *D.2 Element stiffness function*, *D.3 Element force function* y *D.4 Element internal forces function*, al mismo tiempo que el conjunto de funciones que establecen el *solver* de problemas matriciales en *Matlab* se han podido computar las distribuciones y magnitudes deseadas.

```

1 %%
2 % SOLVER:
3 fel = ForceFunction(Data,X,Tn,fe,me); % Compute element force vectors
4 [K,f] = assemblyFunction(Data,Td,Kel,fel); % Assemble global stiffness matrix
5 [up,vp] = applyBC(Data,P); % Apply prescribed DOFs
6 [u,r] = solveSystem(Data,K,f,up,vp); % Solve system

```

En concreto, para obtener la *vertical deflection* y la *section bending and torsion rotation* se han utilizado la gran mayoría de dichas funciones. La función *ForceFunction* calcula los vectores de

fuerza de cada elemento, lo que permite el ensamblaje de la matriz de rigidez global mediante la función *assemblyFunction*. Después de prescribir los grados de libertad iniciales mediante *applyBC*, el uso de *solveSystem*, que utiliza el ensamblaje realizado y la prescripción para determinar el desplazamiento de cada elemento discreto, devuelve el vector deseado.

Por otro lado, para obtener la ***shear force, bending moment and torsion moment*** en el centro de cortante, se ha implementado la función *D.4 Element internal forces function*.

3.2 Convergence of the numerical solution

Para estudiar la convergencia de la solución numérica para diferentes tamaños de elementos en la discretización de la viga ($h_{el} = \{\frac{b}{4}, \frac{b}{8}, \frac{b}{16}, \frac{b}{32}, \frac{b}{64}\}$), se ha calculado el error relativo de la deflexión y la torsión en la punta del ala en cada caso en comparación con un caso de referencia con un número grande de elementos.

El error relativo se define como:

$$\epsilon(h_{el}) = \left| \frac{u_{h_{el}} - u_{h_{ref}}}{u_{h_{ref}}} \right|$$

donde:

- h_{el} es el tamaño del elemento considerado.
- $u_{h_{el}}$ es la solución obtenida con el tamaño de elemento h_{el} .
- $u_{h_{ref}}$ es la solución de referencia obtenida con un tamaño de elemento muy pequeño, por ejemplo $h_{ref} = \frac{b}{512}$.

Los tamaños de elementos considerados son $h_{el} = \{\frac{b_b}{4}, \frac{b_b}{8}, \frac{b_b}{16}, \frac{b_b}{32}, \frac{b_b}{64}\}$.

Tanto para el caso abierto como cerrado, los gráficos del error relativo de la deflexión y torsión en la punta del ala son:

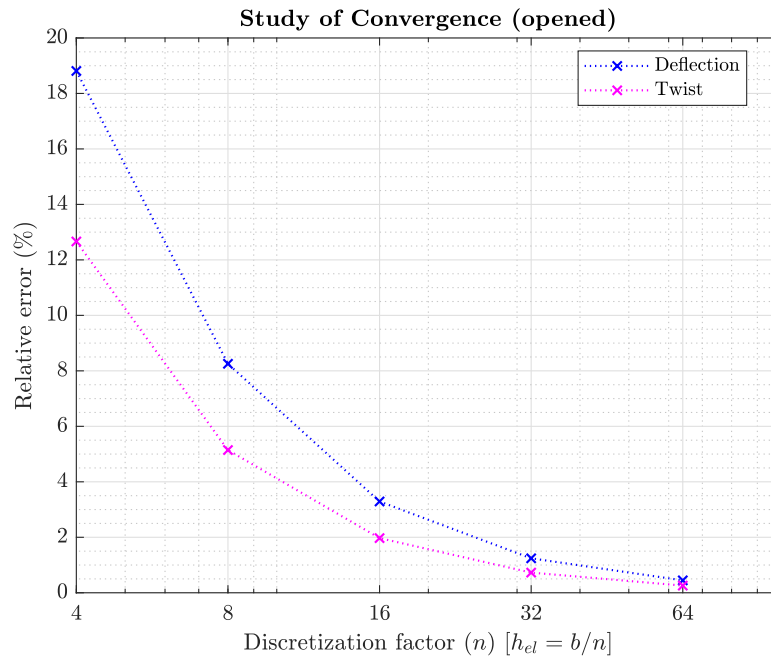


Figure 13: Study of Convergence (opened)

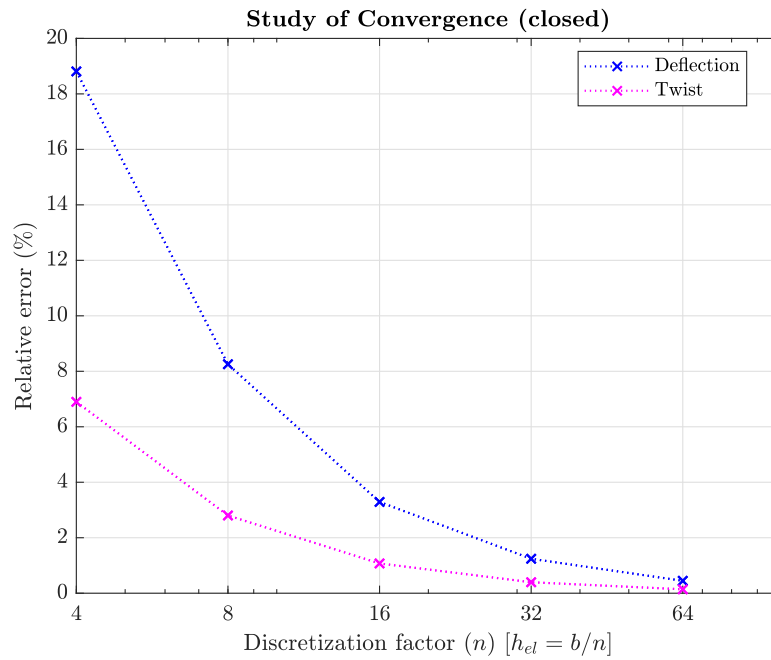


Figure 14: Study of Convergence (closed)

3.3 Wingbox magnitudes analysis, reference case ($h_{el} = \frac{b}{512}$)

Para el caso de referencia, se han graficado las magnitudes descritas en el punto 3.1, tanto para el caso abierto como cerrado.

Sección abierta

Opened section

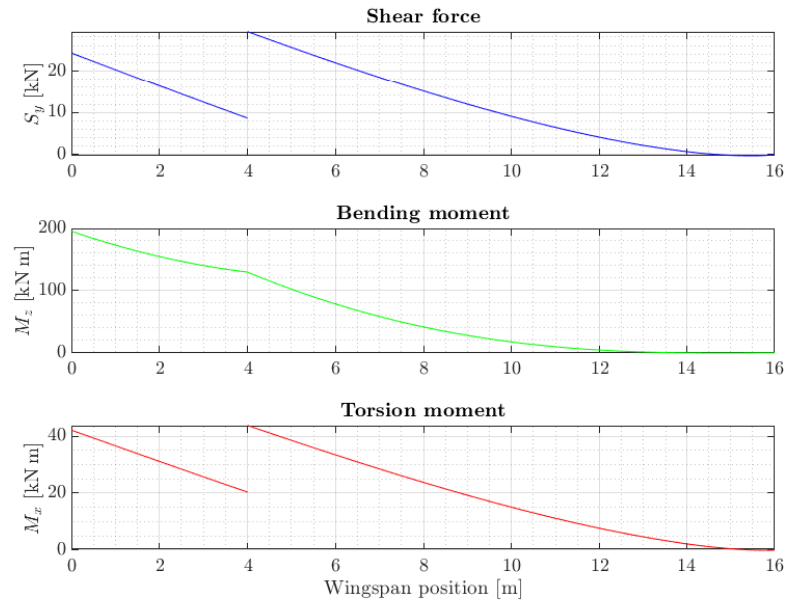


Figure 15: Shear force, bending moment and Torsion moment, opened

Opened section

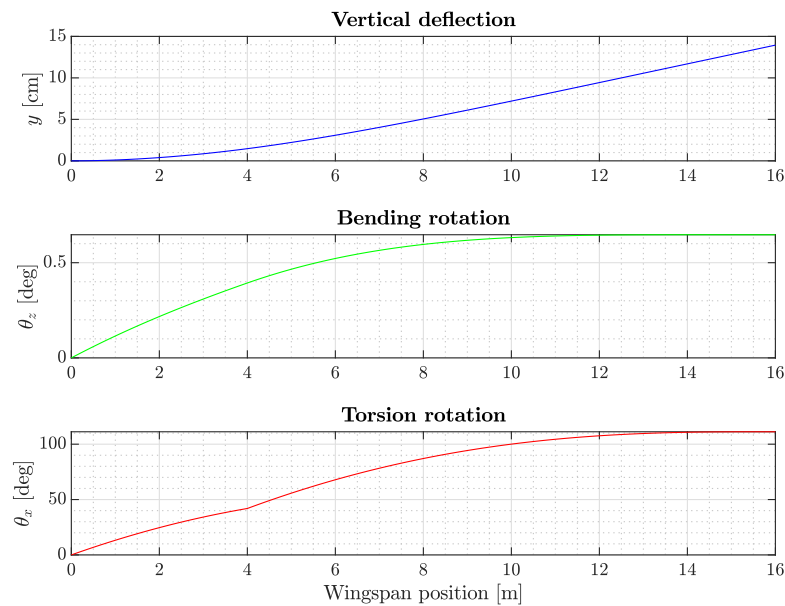


Figure 16: Vertical deflection, bending rotation and torsion rotation, opened

Sección cerrada

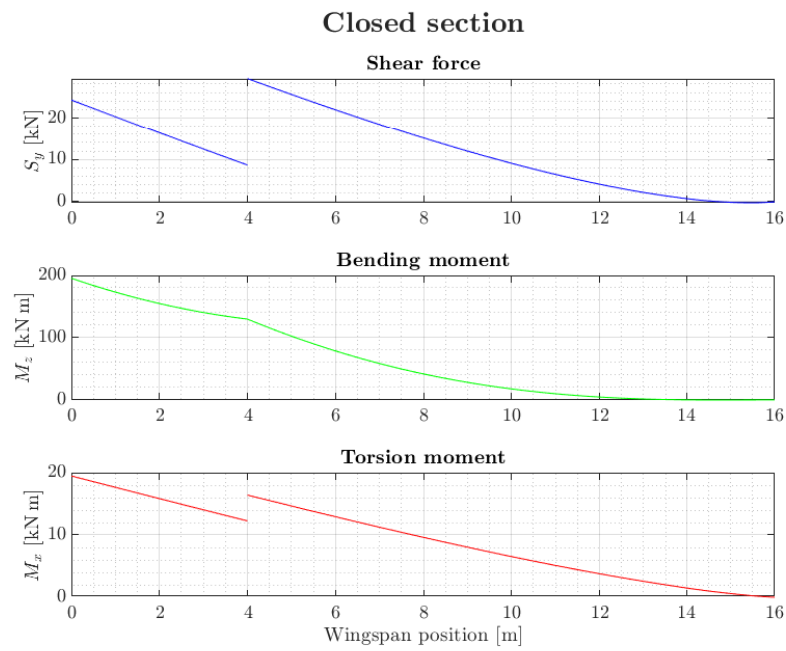


Figure 17: Shear force, bending moment and Torsion moment, closed

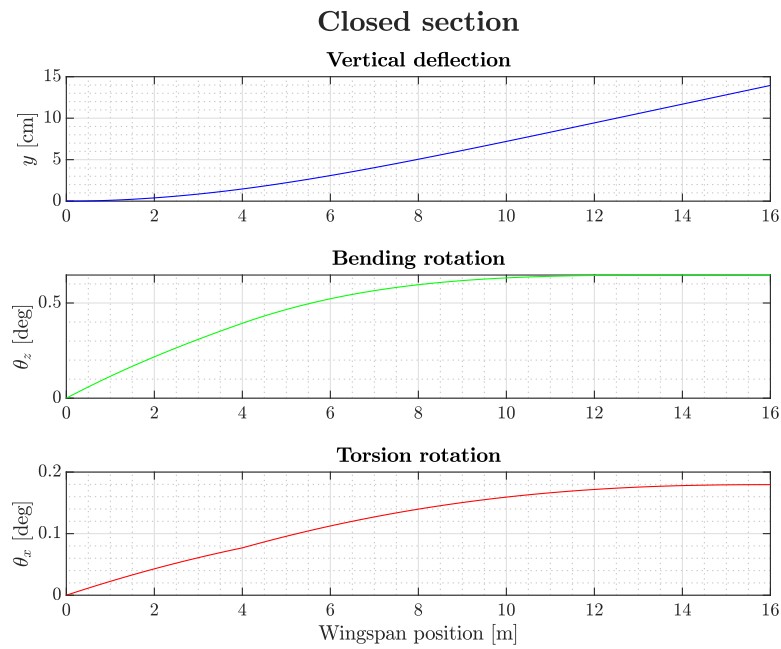


Figure 18: Vertical deflection, bending rotation and torsion rotation, closed

4 Von Mises criterion

Por último, se ha aplicado el criterio de Von Mises para localizar el punto más crítico en el interior de la estructura del ala, tanto para los casos de sección cerrada como abierta. Para ello, se tiene en cuenta que dicho criterio constata que la carga última sigue la forma:

$$\sigma_{VM} = \sqrt{\sigma^2 + 3\tau^2}$$

Por ende, se obtienen los resultados:

	Open Section	Closed Section
Beam Position (m)	4	0
Section Position (m)	(0, -0.25)	(0, 0.25)
Stress Value (MPa)	788.90	118.44

Los puntos donde se encuentran las máximas tensiones admisibles, para cada caso, se ubican en la sección donde se encuentra el turbofan y en el encastre del ala respectivamente. En concreto, dichos puntos en cada sección se encuentran:

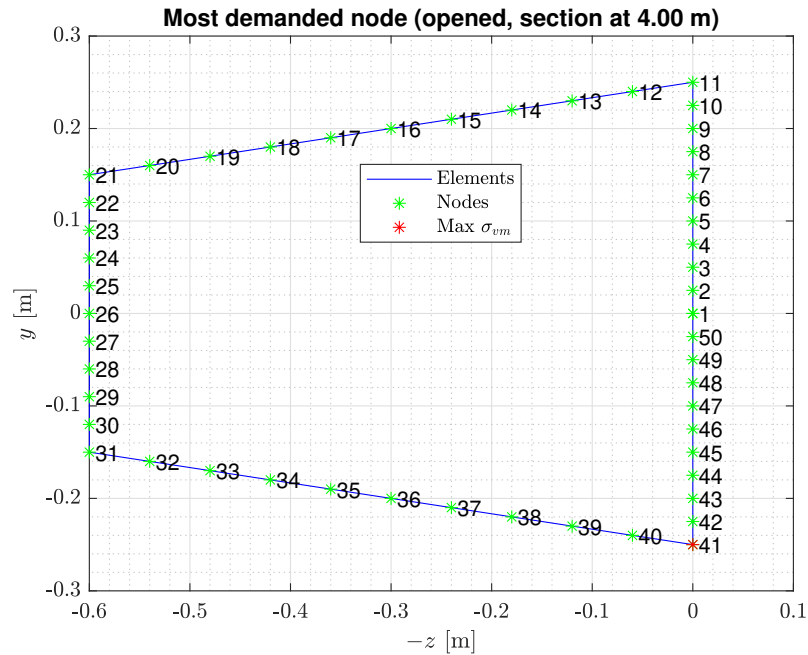


Figure 19: Von Mises criterion node, opened

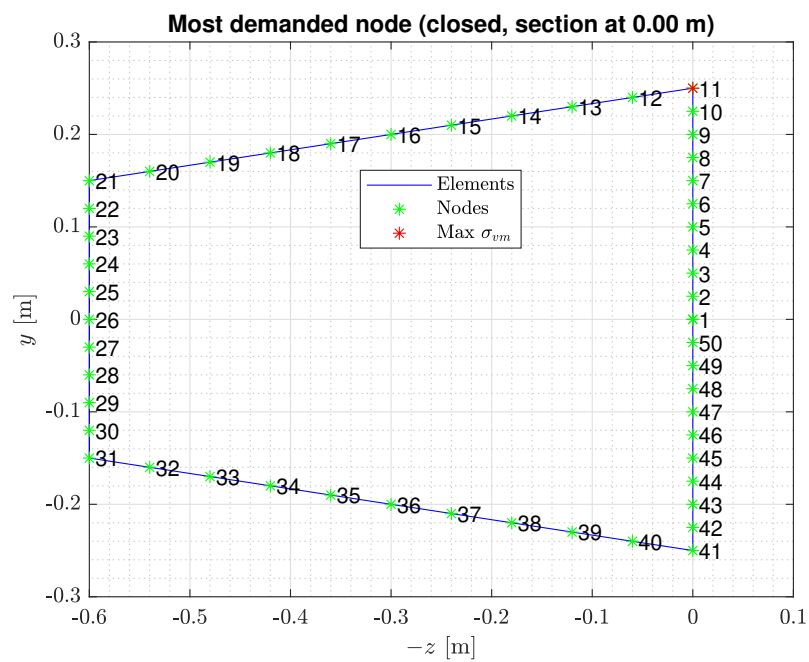


Figure 20: Von Mises criterion node, closed

5 Conclusiones

Los resultados geométricos obtenidos en referencia a la sección transversal del ala son los esperados, debido a la simetría de la estructura. En relación con las fuerzas y deformaciones obtenidas, cabe destacar el ángulo de giro de torsión del ala en el caso abierto frente al cerrado. Para el abierto se ha obtenido un ángulo máximo de giro (en el *wingtip*) 626 veces mayor que para el caso de sección transversal cerrada. Esto es debido al módulo de torsión para el caso cerrado, pues es mucho mayor en comparación con el abierto. También destaca el hecho que tanto las deformaciones verticales y la rotación por flector obtenidas para ambos casos (abierto y cerrado) como el cortante y flector, coinciden. La explicación de dicho suceso se atribuye a la aproximación o asunción de que el centro de cortante coincide con el centro de torsión para el caso cerrado, de no haber sido así, los resultados diferirían.

En relación con la convergencia en la deflexión y torsión en el *wingtip*, podemos afirmar que a partir de utilizar como longitud de discretización del ala la trigesimosegunda parte de la longitud de la misma, obtenemos un error menor al 2%, tanto en el caso abierto como en el cerrado. Destacar que la convergencia en la deflexión es la misma para ambos casos, puesto que las deflexiones son las mismas por lo mencionado anteriormente. Para la sección cerrada, el error relativo obtenido para la torsión es menor, de todas formas, en ambos casos se aprecia una rápida convergencia.

Finalmente, se ha estudiado la tensión máxima de Von Mises a la cual se somete la estructura. Por un lado, para el caso abierto, la sección más solicitada se encuentra en la misma sección del ala donde se sitúa el motor. Por otro lado, dicha sección, para el caso cerrado, se ubica en el encastre del ala. Cabe mencionar que la tensión máxima de Von Mises, **a igual solicitación de la estructura**, es mucho mayor para el caso abierto que para el cerrado, como consecuencia la estructura con sección transversal abierta fallaría primero.

La práctica realizada, pues, ha sido un buen ejercicio para trabajar la discretización y la implementación de la teoría trabajada en clase respecto al cálculo de esfuerzos y requerimientos estructurales, así como para asentar y repasar conceptos.

A Código empleado

A.1 Sección A

En primer lugar, el main de la sección A:

```

1 %% CODE, MAIN A:
2 clear; clc; close all;
3 addpath('functions\')
4
5 % Datos geométricos
6 c = 2; % [m]
7 d = .3*c;
8 h1 = .25*c;
9 h2 = .15*c;
10 t1 = 22e-3;
11 t2 = 15e-3;
12 t3 = 3.5e-3;
13 n_subBars = 10;
14
15 % Datos del material
16 E = 210e9;
17 G = 80e9;
18
19 % Geometría y propiedades
20 x = [0 0
21      0 h1/2
22      -d h2/2
23      -d -h2/2
24      0 -h1/2
25      0 0];
26
27 [x_disc, Tn] = discretize(x,n_subBars);
28
29 nel = length(Tn);
30
31 m = [t1 E G
32      t2 E G
33      t3 E G];
34
35 Tm = [];
36 for e = 1:length(x)-1
37     if e==1 || e==5
38         Tm = [Tm;ones(n_subBars,1)*1];
39     end
40     if e==2 || e==4
41         Tm = [Tm;ones(n_subBars,1)*3];
42     end
43     if e==3
44         Tm = [Tm;ones(n_subBars,1)*2];
45     end
46 end
47
48 %% A) Cross-section analysis
49
50 % a.1)
51 [Xc,Xs,Atot,Ixx,Iyy,Ixy,J] = getSectionProperties(x_disc,Tn,m,Tm);
52 [~,~,~,~,~,J_closed,Ain] = getSectionPropertiesClosed(x_disc,Tn,m,Tm);
53
54 % a.2) i a.3)
55 [sigma, s_n] = getNormalStressDistribution(x_disc,Tn,Xc,Ixx,Iyy,Ixy,-1,0);
56
57 [q, tau, sl] = getTangentialStressDistribution(x_disc,Tn,m,Tm,Xc,Ixx,Iyy,Ixy,0,1);
58 [q_closed, tau_closed, s_closed] = getTangentialStressDistributionClosed(x_disc,Tn,m,Tm,Xc,Ixx,Iyy,Ixy,0,1,Xs,Ain); % assuming Xs=Xc
59
60 [tau_t, s_t] = getTangentialStressDistributionTorsion(x_disc,Tn,m,Tm,J,1);
61 [tau_t_closed, s_t_closed] = getTangentialStressDistributionTorsionClosed(x_disc,Tn,m,Tm,1,Ain);
62
63 %
64 section_data.x_disc = x_disc;
65 section_data.Tn = Tn;
66 section_data.Tm = Tm;
67 section_data.m = m;
68 section_data.Xc = Xc;
69 section_data.Xs = Xs;
70 section_data.Ixx = Ixx;
71 section_data.Iyy = Iyy;
72 section_data.Ixy = Ixy;
73 section_data.Ain = Ain;
74 section_data.J = J;
75 section_data.J_closed = J_closed;
76
77 save('section_data.mat','section_data')
78
79 %% Gràfics
80
81 % a.0) Discretization
82 hold on;
83 box on;
84 grid on; grid minor;
85 plot(x_disc(:,1),x_disc(:,2),'b-')
86 plot(x_disc(:,1),x_disc(:,2),'*','color','r')
87 legend('Elements','Nodes','location','best')
88 title("Geometry of the wing's section");
89 xlabel('$-z$ [m]','interpreter','latex');
90 ylabel('$y$ [m]','interpreter','latex');
91 set(gca,'TickLabelInterpreter','latex','XLim',xlim*1,'YLim',ylim*1)
92 xlim([min(x(:,1))-0.1,max(x(:,1))+0.1]);
93 text(x_disc(1:end-1,1),x_disc(1:end-1,2),sprintfc(' %d',1:numel(x_disc(:,1))-1));
94 hold off;
95
96 %%
97 % a.1)
98 % Normal stress (opened section)

```

```

99 figure('Name','Normal stress distribution');
100 plot(s_n, sigma,'b-');
101 title('Normal distribution');
102 xlabel('Section path ($s$) [m]','interpreter','latex');
103 ylabel('Normal stress [Pa]','interpreter','latex');
104 set(gca,'TickLabelInterpreter','latex','XLim',xlim*1,'YLim',ylim*1);
105 grid minor, grid on;
106
107
108 % a.2)
109 % Shear flow (opened section)
110 figure('Name','Shear flow distribution (opened)');
111 plot(s, q,'r-');
112 title('Shear flow distribution (opened)','interpreter','latex');
113 xlabel('Section path ($s$) [m]','interpreter','latex');
114 ylabel('$q$ S_o$ [Pa]','interpreter','latex');
115 set(gca,'TickLabelInterpreter','latex','XLim',xlim*1,'YLim',ylim*1);
116 grid minor, grid on;
117
118 % Tangential stress (opened section)
119 figure('Name','Tangential stress distribution (opened)');
120 plot(s, tau,'r-');
121 title('Tangential stress distribution (opened)','interpreter','latex');
122 xlabel('Section path ($s$) [m]','interpreter','latex');
123 ylabel('$\tau$ S_o$ [Pa]','interpreter','latex');
124 set(gca,'TickLabelInterpreter','latex','XLim',xlim*1,'YLim',ylim*1);
125 grid minor, grid on;
126
127 % Torsion tangential stress (opened section)
128 figure('Name','Torsion tangential stress distribution (opened)');
129 plot(s, tau_t,'r-');
130 title('Torsion tangential stress distribution (opened)','interpreter','latex');
131 xlabel('Section path ($s$) [m]','interpreter','latex');
132 ylabel('$\tau$ T_o$ [Pa]','interpreter','latex');
133 set(gca,'TickLabelInterpreter','latex','XLim',xlim*1,'YLim',ylim*1);
134 grid minor, grid on;
135
136
137
138 % a.3)
139 % Shear flow (closed section)
140 figure('Name','Shear flow distribution (closed)');
141 plot(s_closed, q_closed,'g-');
142 title('Shear flow distribution (closed)','interpreter','latex');
143 xlabel('Section path ($s$) [m]','interpreter','latex');
144 ylabel('$q$ S_c$ [Pa]','interpreter','latex');
145 set(gca,'TickLabelInterpreter','latex','XLim',xlim*1,'YLim',ylim*1);
146 grid minor, grid on;
147
148 % Tangential stress (closed section)
149 figure('Name','Tangential stress distribution (closed)');
150 plot(s_closed, tau_closed,'g-');
151 title('Tangential stress distribution (closed)','interpreter','latex');
152 xlabel('Section path ($s$) [m]','interpreter','latex');
153 ylabel('$\tau$ S_c$ [Pa]','interpreter','latex');
154 set(gca,'TickLabelInterpreter','latex','XLim',xlim*1,'YLim',ylim*1);
155 grid minor, grid on;
156
157 % Torsion tangential stress (closed section)
158 figure('Name','Torsion tangential stress distribution (closed)');
159 plot(s_closed, tau_t_closed,'g-');
160 title('Torsion tangential stress distribution (closed)','interpreter','latex');
161 xlabel('Section path ($s$) [m]','interpreter','latex');
162 ylabel('$\tau$ T_c$ [Pa]','interpreter','latex');
163 set(gca,'TickLabelInterpreter','latex','XLim',xlim*1,'YLim',ylim*1);
164 grid minor, grid on;

```

A.2 Sección B

A.2.1 Caso abierto

El main de la sección B incluyendo el criterio de Von Mises para el caso abierto:

```

1 clear; clc; close all;
2
3 addpath('functions\')
4 load('section_data.mat')
5
6 g = 9.81; % [m/s^2]
7 % Datos geométricos
8 chi_s = -section_data.Xs(1); % [m] shear center caso abierto
9 b = 16; % [m]
10 be = 0.25*b; % [m]
11 c = 2; % [m]
12 ze = 0.3*c; % [m]
13 za = 0.25*c; % [m]
14 zm = 0.48*c; % [m]
15 chi_p = 0.3*c; % [m]
16 Me = 2100; % [kg]
17 weight_distribution = 140*g; % [N/m]
18
19 vinf = 750/3.6; % [m/s]
20 rho = 1.225; % [kg/m^3]
21 Cl = 0.1;
22 lift_func = @(x) 0.5*rho*vinf^2*c*Cl*sqrt(1-(x/b)^2);
23
24 % Geometría y propiedades
25 dx = b/512;
26 x = 0:dx:b;

```

```

27 data.x = x;
28 data.nnod = numel(x);
29 data.nel = numel(x)-1;
30 data.nne = 2;
31 data.ni = 3;
32 data.ndof = data.nnod*data.ni; % Total number of degrees of freedom
33 Tn = zeros(data.nel,2);
34 for e=1:data.nel
35     Tn(e,:) = [e, e+1];
36 end
37 Td = connectDOF(data,Tn);
38
39 p = [1 1 0 % no desplazamiento vertical en el empotramiento
40      1 2 0 % no giro en el empotramiento
41      1 3 0]; % no giro de torsión en el empotramiento
42
43 % Datos del material
44 E = 210e9;
45 G = 80e9;
46 I = section_data.Ixx; % [m^4] Inercia en el eje x local de la sección transversal (el eje z global del dibujo)
47 J = section_data.J; % [m^4] Módulo de torsión (polar inertia) (caso abierto)
48 m = [E G I J];
49 Tm = ones(data.nel,1); % Toda el ala presenta la misma sección con mismo material
50
51
52 % Fuerza distribuida equivalente resultante en cada ELEMENTO
53 distributed_lift_nodes = arrayfun(lift_func,x);
54 distributed_lift_elements = (distributed_lift_nodes(1:end-1) + distributed_lift_nodes(2:end))/2;
55 distributed_load = distributed_lift_elements * weight_distribution;
56
57 % Momento torsor distribuido equivalente resultante en cada ELEMENTO
58 distributed_torsion_lift = (chi_s+chi_p-za)*distributed_lift_elements;
59 distributed_torsion = distributed_torsion_lift - (chi_s+chi_p-zm)*weight_distribution;
60
61 % Fuerzas puntuales y momentos/torsores en cada NODO
62 motor_node_position = find(x==be);
63 F = [motor_node_position 1 -Me*g
64      motor_node_position 3 -Me*g*(chi_s+chi_p-ze)]; % Point loads (only the engine)
65
66
67 %% B) Beam analysis (opened)
68 [u,r, x_el,S_el,Mb_el,Mt_el] = solveStructure(data,Tn,Td,m,Tm,p,distributed_load,distributed_torsion,F);
69
70 u_3rows = reshape(u,3,[]);
71
72
73 %% Gráficas
74
75 % b.1)
76 figure('Name','Opened section');
77 t = tiledlayout(3,1);
78 title(t,'\textbf{Opened section}','interpreter','latex')
79
80 % Vertical deflection (opened section)
81 ax1 = nexttile;
82 plot(ax1,x,u_3rows(1,:)*100,'b-')
83 title(ax1,'\textbf{Vertical deflection}','interpreter','latex');
84 ylabel('$y$ [cm]','Interpreter','latex');
85 set(gca,'TickLabelInterpreter','latex','XLim',xlim*1,'YLim',ylim*1);
86 grid minor, grid on;
87 %daspect([1 4 .5])
88
89 % Bending rotation (opened section)
90 ax2 = nexttile;
91 plot(ax2,x,u_3rows(2,:)*180/pi,'g-')
92 title(ax2,'\textbf{Bending rotation}','interpreter','latex');
93 ylabel('$\theta_z$ [deg]','Interpreter','latex');
94 set(gca,'TickLabelInterpreter','latex','XLim',xlim*1,'YLim',ylim*1);
95 grid minor, grid on;
96
97 % Torsion rotation (opened section)
98 ax3 = nexttile;
99 plot(ax3,x,u_3rows(3,:)*180/pi,'r-')
100 title(ax3,'\textbf{Torsion rotation}','interpreter','latex');
101 ylabel('$\theta_x$ [deg]','Interpreter','latex');
102 xlabel('Wingspan position [m]','interpreter','latex');
103 set(gca,'TickLabelInterpreter','latex','XLim',xlim*1,'YLim',ylim*1);
104 grid minor, grid on;
105
106 %
107
108
109 figure('Name','Opened section');
110 t = tiledlayout(3,1);
111 title(t,'\textbf{Opened section}','interpreter','latex')
112
113 % Shear force (opened section)
114 ax1 = nexttile;
115 plot(ax1,x_el,S_el/1000,'b-')
116 title(ax1,'\textbf{Shear force}','interpreter','latex');
117 ylabel('$S_y$ [kN]','Interpreter','latex');
118 set(gca,'TickLabelInterpreter','latex','XLim',xlim*1,'YLim',ylim*1);
119 grid minor, grid on;
120 %daspect([1 4 .5])
121
122 % Bending moment (opened section)
123 ax2 = nexttile;
124 plot(ax2,x_el,Mb_el/1000,'g-')
125 title(ax2,'\textbf{Bending moment}','interpreter','latex');
126 ylabel('$M_z$ [kN\,m]','Interpreter','latex');
127 set(gca,'TickLabelInterpreter','latex','XLim',xlim*1,'YLim',ylim*1);
128 grid minor, grid on;
129
130 % Torsion moment (opened section)
131 ax3 = nexttile;
132 plot(ax3,x_el,Mt_el/1000,'r-')
133 title(ax3,'\textbf{Torsion moment}','interpreter','latex');
134 ylabel('$M_x$ [kN\,m]','Interpreter','latex');
135 xlabel('Wingspan position [m]','interpreter','latex');
136 set(gca,'TickLabelInterpreter','latex','XLim',xlim*1,'YLim',ylim*1);

```

```

137 grid minor, grid on;
138
139
140 %% B2 Study of convergence
141
142 [discretization_factor, tip_deflection_error, tip_torsion_error] = getTipDeflectoinAndTorsionError(512);
143
144 % Gráfico de la convergencia
145 hold on;
146 box on;
147 grid on; grid minor;
148 plot(discretization_factor, tip_deflection_error*100, 'bx:', 'LineWidth', 1)
149 plot(discretization_factor, tip_torsion_error*100, 'mx:', 'LineWidth', 1)
150 set(gca, 'xscale', 'log')
151
152 ticks = [1, 2, 4, 8, 16, 32, 64, 128];
153 tickLabels = cellstr(num2str(ticks));
154 set(gca, 'XTick', ticks, 'XTickLabel', tickLabels);
155
156 legend('Deflection', 'Twist', 'location', 'best', 'interpreter', 'latex')
157 title('Plot of Study of Convergence (opened)', 'interpreter', 'latex');
158 xlabel('Discretization factor ($n$) [$h_{el} = b/n$]', 'interpreter', 'latex');
159 ylabel('Relative error ($\epsilon$)', 'interpreter', 'latex');
160 set(gca, 'TickLabelInterpreter', 'latex', 'XLim', xlim*1, 'YLim', ylim*1)
161 hold off;
162
163
164
165 %% C) Most critical point (Von Misses)
166
167 aplane = @(vec)[vec(1,1) vec(1,2:end) vec(2,end)];
168
169 cross_section_max_sigma_vm_vec = zeros(1,data.nel);
170 node_cross_section_max_sigma_vm_vec = zeros(1,data.nel);
171 for i=1:data.nel
172     ['tau', i] = getTangentialStressDistribution(section_data.x_disc, section_data.Tn, section_data.m, section_data.Tm, section_data.Xc,
173         section_data.Ixx, section_data.Iyy, section_data.Ixy, 0, S_el(1,i));
174     [tau_t, i] = getTangentialStressDistributionTorsion(section_data.x_disc, section_data.Tn, section_data.m, section_data.Tm, section_data.J, -
175         Mt_el(1,i));
176     [sigma, i] = getNormalStressDistribution(section_data.x_disc, section_data.Tn, section_data.Xc, section_data.Ixx, section_data.Iyy, section_data
177         .Ixy, Mb_el(1,i), 0);
178     tau = aplane(tau); % tau de cada nodo (cada posición es el nodo correspondiente de la discretización de la sección transversal)
179     tau_t = aplane(tau_t); % tau_t de cada nodo (cada posición es el nodo correspondiente de la discretización de la sección transversal)
180     sigma = aplane(sigma); % sigma de cada nodo (cada posición es el nodo correspondiente de la discretización de la sección transversal)
181     sigmas_vm = sqrt(sigma.^2+3*(tau+tau_t).^2);
182     [cross_section_max_sigma_vm_vec(i), node_cross_section_max_sigma_vm_vec(i)] = max(sigmas_vm);
183 end
184
185 [wingspan_max_sigma_vm, node_wingspan_max_sigma_vm] = max(cross_section_max_sigma_vm_vec)
186 node_cross_section_max_sigma_vm = node_cross_section_max_sigma_vm_vec(node_wingspan_max_sigma_vm)
187
188 position_wing_max_sigma_vm = (node_wingspan_max_sigma_vm-1)*dx
189 position_cross_section_max_sigma_vm = (node_cross_section_max_sigma_vm-1)*norm(diff(section_data.x_disc(1:2,:)))
190
191 %% Cross section maximum sigma Von Misses
192 hold on;
193 box on;
194 grid on; grid minor;
195 plot(section_data.x_disc(:,1), section_data.x_disc(:,2), 'b-')
196 plot(section_data.x_disc(:,1), section_data.x_disc(:,2), 'r*', 'color', 'r')
197 plot(section_data.x_disc(node_cross_section_max_sigma_vm,1), section_data.x_disc(node_cross_section_max_sigma_vm,2), 'r*', 'color', 'r')
198 legend('Elements', 'Nodes', 'Max $\sigma_{vm}$', 'location', 'best', 'interpreter', 'latex')
199 title(sprintf('Most demanded node (opened, section at %.2f m)', position_wing_max_sigma_vm));
200 xlabel('$x$ [m]', 'interpreter', 'latex');
201 ylabel('$\sigma_{vm}$ [MPa]', 'interpreter', 'latex');
202 set(gca, 'TickLabelInterpreter', 'latex', 'XLim', xlim*1, 'YLim', ylim*1)
203 %xlim([min(x(:,1))-0.1, max(x(:,1))+0.1]);
204 text(section_data.x_disc(1:end-1,1), section_data.x_disc(1:end-1,2), sprintfc(' %d ', 1:numel(section_data.x_disc(:,1))-1));
205 hold off;

```

A.2.2 Caso cerrado

Para el caso cerrado:

```

1 clear; clc; close all;
2
3 addpath('functions\')
4 load('section_data.mat')
5
6 g = 9.81; % [m/s^2]
7 % Datos geométricos
8 chi_s = -section_data.Xc(1); % [m] shear center caso cerrado (approx= centroide)
9 b = 16; % [m]
10 be = 0.25*b; % [m]
11 c = 2; % [m]
12 ze = 0.3*c; % [m]
13 za = 0.25*c; % [m]
14 zm = 0.48*c; % [m]
15 chi_p = 0.3*c; % [m]
16 Me = 2100; % [kg]
17 weight_distribution = 140*g; % [N/m]
18
19 vinf = 750/3.6; % [m/s]
20 rho = 1.225; % [kg/m^3]
21 Cl = 0.1;
22 lift_func = @(x) 0.5*rho*vinf^2*c*Cl*sqrt(1-(x/b)^2);
23
24 % Geometría y propiedades
25 dx = b/512;
26 x = 0:dx:b;
27 data.x = x;
28 data.nnod = numel(x);

```

```

29 data.nel = numel(x)-1;
30 data.nne = 2;
31 data.ni = 3;
32 data.ndof = data.nnod*data.ni; % Total number of degrees of freedom
33 Tn = zeros(data.nel,2);
34 for e=1:data.nel
35     Tn(e,:) = [e, e+1];
36 end
37 Td = connectDOF(data,Tn);
38
39 p = [1 1 0 % no desplazamiento vertical en el empotramiento
40      1 2 0 % no giro en el empotramiento
41      1 3 0]; % no giro de torsión en el empotramiento
42
43 % Datos del material
44 E = 210e9;
45 G = 80e9;
46 I = section_data.Ixx; % [m^4] Inercia en el eje x local de la sección transversal (el eje z global del dibujo)
47 J = section_data.J_closed; % [m^4] Módulo de torsión (polar inertia) (caso abierto)
48 m = [E G I J];
49 Tm = ones(data.nel,1); % Toda el ala presenta la misma sección con mismo material
50
51
52 % Fuerza distribuida equivalente resultante en cada ELEMENTO
53 distributed_lift_nodes = arrayfun(lift_func,x);
54 distributed_lift_elements = (distributed_lift_nodes(1:end-1) + distributed_lift_nodes(2:end))/2;
55 distributed_load = distributed_lift_elements * weight_distribution;
56
57 % Momento torsor distribuido equivalente resultante en cada ELEMENTO
58 distributed_torsion_lift = (chi_s+chi_p-za)*distributed_lift_elements;
59 distributed_torsion = distributed_torsion_lift - (chi_s+chi_p-zm)*weight_distribution;
60
61 % Fuerzas puntuales y momentos/torsores en cada NODO
62 motor_node_position = find(x==be);
63 F = [motor_node_position 1 -Me*g
64      motor_node_position 3 -Me*g*(chi_s+chi_p-ze)]; % Point loads (only the engine)
65
66
67 %% B) Beam analysis (closed)
68 [u,r, x_el,S_el,Mb_el,Mt_el] = solveStructure(data,Tn,Td,m,Tm,p,distributed_load,distributed_torsion,F);
69
70 u_3rows = reshape(u,3,[]);
71
72
73 %% Gráficos
74
75 % b.1)
76 figure('Name','Closed section');
77 t = tiledlayout(3,1);
78 title(t,'textbf{Closed section}','interpreter','latex')
79
80 % Vertical deflection (closed section)
81 ax1 = nexttile;
82 plot(ax1,x,u_3rows(1,:)*100,'b-')
83 title(ax1,'textbf{Vertical deflection}','interpreter','latex');
84 ylabel('$y$ [cm]','Interpreter','latex');
85 set(gca,'TickLabelInterpreter','latex','XLim',xlim*1,'YLim',ylim*1);
86 grid minor, grid on;
87 %daspect([1 4 .5])
88
89 % Bending rotation (closed section)
90 ax2 = nexttile;
91 plot(ax2,x,u_3rows(2,:)*180/pi,'g-')
92 title(ax2,'textbf{Bending rotation}','interpreter','latex');
93 ylabel('$\theta_z$ [deg]','Interpreter','latex');
94 set(gca,'TickLabelInterpreter','latex','XLim',xlim*1,'YLim',ylim*1);
95 grid minor, grid on;
96
97 % Torsion rotation (closed section)
98 ax3 = nexttile;
99 plot(ax3,x,u_3rows(3,:)*180/pi,'r-')
100 title(ax3,'textbf{Torsion rotation}','interpreter','latex');
101 ylabel('$\theta_x$ [deg]','Interpreter','latex');
102 xlabel('Wingspan position [m]','interpreter','latex');
103 set(gca,'TickLabelInterpreter','latex','XLim',xlim*1,'YLim',ylim*1);
104 grid minor, grid on;
105
106 %
107
108 figure('Name','Closed section');
109 t = tiledlayout(3,1);
110 title(t,'textbf{Closed section}','interpreter','latex')
111
112 % Shear force (closed section)
113 ax1 = nexttile;
114 plot(ax1,x_el,S_el/1000,'b-')
115 title(ax1,'textbf{Shear force}','interpreter','latex');
116 ylabel('$S_y$ [kN]','Interpreter','latex');
117 set(gca,'TickLabelInterpreter','latex','XLim',xlim*1,'YLim',ylim*1);
118 grid minor, grid on;
119 %daspect([1 4 .5])
120
121 % Bending moment (closed section)
122 ax2 = nexttile;
123 plot(ax2,x_el,Mb_el/1000,'g-')
124 title(ax2,'textbf{Bending moment}','interpreter','latex');
125 ylabel('$M_z$ [kN\,m]','Interpreter','latex');
126 set(gca,'TickLabelInterpreter','latex','XLim',xlim*1,'YLim',ylim*1);
127 grid minor, grid on;
128
129 % Torsion moment (closed section)
130 ax3 = nexttile;
131 plot(ax3,x_el,Mt_el/1000,'r-')
132 title(ax3,'textbf{Torsion moment}','interpreter','latex');
133 ylabel('$M_x$ [kN\,m]','Interpreter','latex');
134 xlabel('Wingspan position [m]','interpreter','latex');
135 set(gca,'TickLabelInterpreter','latex','XLim',xlim*1,'YLim',ylim*1);
136 grid minor, grid on;
137
138

```



```

139 %% B2 Study of convergence
140
141 [discretization_factor, tip_deflection_error, tip_torsion_error] = getTipDeflectoinAndTorsionClosedError(512);
142
143 % Gráfico de la convergencia
144 hold on;
145 box on;
146 grid on; grid minor;
147 plot(discretization_factor, tip_deflection_error*100, 'bx:', 'LineWidth', 1)
148 plot(discretization_factor, tip_torsion_error*100, 'mx:', 'LineWidth', 1)
149 set(gca, 'xscale', 'log')
150
151 ticks = [1, 2, 4, 8, 16, 32, 64, 128];
152 tickLabels = cellstr(num2str(ticks));
153 set(gca, 'XTick', ticks, 'XTickLabel', tickLabels);
154
155 legend('Deflection', 'Twist', 'location', 'best', 'interpreter', 'latex')
156 title('\textbf{Study of Convergence (closed)}', 'interpreter', 'latex');
157 xlabel('Discretization factor ($n$) [$h_{el} = b/n$]', 'interpreter', 'latex');
158 ylabel('Relative error (\%)', 'interpreter', 'latex');
159 set(gca, 'TickLabelInterpreter', 'latex', 'XLim', xlim*1, 'YLim', ylim*1)
160 hold off;
161
162
163
164 %% C) Most critical point (Von Misses)
165
166 aplane = @(vec)[vec(1,1) vec(1,2:end) vec(2,end)];
167
168 cross_section_max_sigma_vm_vec = zeros(1,data.nel);
169 node_cross_section_max_sigma_vm_vec = zeros(1,data.nel);
170 for i=1:data.nel
171     [,tau,] = getTangentialStressDistributionClosed(section_data.x_disc, section_data.Tn, section_data.m, section_data.Tm, section_data.Xc,
172     section_data.Ixx, section_data.Iyy, section_data.Ixy, 0, S_el(1,i), section_data.Xc, section_data.Ain);
173     [tau,t,] = getTangentialStressDistributionTorsionClosed(section_data.x_disc, section_data.Tn, section_data.m, section_data.Tm, -Mt_el(1,i),
174     section_data.Ain);
175     [sigma,] = getNormalStressDistribution(section_data.x_disc, section_data.Tn, section_data.Xc, section_data.Ixx, section_data.Iyy, section_data
176     .Ixy, Mb_el(1,i), 0);
177     tau = aplane(tau); % tau de cada nodo (cada posición es el nodo correspondiente de la discretización de la sección transversal)
178     tau,t = aplane(tau,t); % tau,t de cada nodo (cada posición es el nodo correspondiente de la discretización de la sección transversal)
179     sigma = aplane(sigma); % sigma de cada nodo (cada posición es el nodo correspondiente de la discretización de la sección transversal)
180
181     sigmas_vm = sqrt(sigma.^2+3*(tau+tau.t).^2);
182     [cross_section_max_sigma_vm_vec(i), node_cross_section_max_sigma_vm_vec(i)] = max(sigmas_vm);
183 end
184
185 [wingspan_max_sigma_vm, node_wingspan_max_sigma_vm] = max(cross_section_max_sigma_vm_vec)
186 node_cross_section_max_sigma_vm = node_cross_section_max_sigma_vm_vec(node_wingspan_max_sigma_vm)
187
188 position_wing_max_sigma_vm = (node_wingspan_max_sigma_vm-1)*dx
189 position_cross_section_max_sigma_vm = (node_cross_section_max_sigma_vm-1)*norm(diff(section_data.x_disc(1:2,:)))
190
191 %% Cross section maximum sigma Von Misses
192 hold on;
193 box on;
194 grid on; grid minor;
195 plot(section_data.x_disc(:,1), section_data.x_disc(:,2), 'b-')
196 plot(section_data.x_disc(:,1), section_data.x_disc(:,2), 'r*', 'color', 'g')
197 plot(section_data.x_disc(node_cross_section_max_sigma_vm,1), section_data.x_disc(node_cross_section_max_sigma_vm,2), 'r*', 'color', 'r')
198 legend('Elements', 'Nodes', 'Max $\sigma_{vm}$', 'location', 'best', 'interpreter', 'latex')
199 title(sprintf('Most demanded node (closed, section at %.2f m)', position_wing_max_sigma_vm));
200 xlabel('$-z$ [m]', 'interpreter', 'latex');
201 ylabel('$\sigma$ [m]', 'interpreter', 'latex');
202 set(gca, 'TickLabelInterpreter', 'latex', 'XLim', xlim*1, 'YLim', ylim*1)
203 %xlim([min(x(:,1))-0.1, max(x(:,1))+0.1]);
204 text(section_data.x_disc(1:end-1,1), section_data.x_disc(1:end-1,2), sprintf('%d', 1:numel(section_data.x_disc(:,1))-1));
205 hold off;

```

Véanse las funciones y todo el código en el siguiente enlace.

